

## КРАТКИЕ СООБЩЕНИЯ

УДК 539.184

## СИЛЫ ОСЦИЛЛЕТОРОВ ДЛЯ ВОЗБУЖДЕННЫХ СОСТОЯНИЙ ГЕЛИОПОДОБНЫХ СИСТЕМ

У. И. Сафронова, А. Н. Иванова и В. Н. Харитонова

В работах [1, 2] проведен расчет первых двух порядков ряда теории возмущений по межэлектронному взаимодействию для энергии двухэлектронных атомных систем. В настоящей работе рассмотрен расчет цулевого и первого порядков ряда теории возмущений для матричного элемента дипольного момента для двухэлектронных систем. Используя далее результаты работы [2], рассчитываются первые два порядка ряда теории возмущений для сил осцилляторов.

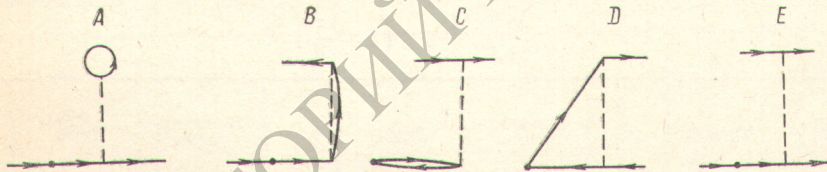
Как известно, для дипольного матричного элемента имеем

$$P(LSMM_S; L'S'M'M'_S) = \langle \Psi_{LSMM_S}^* \hat{\Psi}_{L'S'M'M'_S} \rangle. \quad (1)$$

Используя методы полевой формы теории возмущений, представим  $P$  в виде ряда по  $\frac{1}{Z}$

$$P(LSMM_S; L'S'M'M'_S) = \frac{1}{Z} P^{(0)} + \frac{1}{Z^2} P^{(1)} + \dots, \quad (2)$$

где  $P^{(0)}$  — дипольный матричный элемент, рассчитанный на функциях, не учитывающих взаимодействия электронов. Каждый из следующих членов ряда (2) равен сумме вкладов диаграмм. Для  $P^{(1)}$  диаграммы представлены на рисунке, причем



точке с входящей и выходящей электронной линией соответствует дипольный матричный элемент, рассчитанный на цулевых (без взаимодействия) функциях, а четверному вертексу соответствует матричный элемент электростатического взаимодействия электронов.

В настоящей работе рассматриваются переходы между конфигурациями  $1s^2 - 1snp$  и  $1sn_1s - 1sn_2p$ . Для таких переходов ввиду отсутствия вклада от суммирования по заполненным оболочкам вклад дает только диаграмма  $E$ .

Проводя суммирование по проекциям моментов, имеем для  $P^{(1)}$  соответственно для конфигураций  $1s^2 - 1snp$  и  $1sn_1s - 1sn_2p$

$$\begin{aligned} P_i^{(1)}(0000; 10M'0) = & -\sqrt{\frac{2}{3}} \delta_{M', i} \left\{ \sum_{n'} \frac{1}{E_{n'} - E_1} R(n'0; n1) R_0(n'010; 1010) + \right. \\ & + \sum_{n'} \frac{1}{E_{n'} - E_n} R(n'1; 10) \left[ R_0(n'110; 10n1) + \frac{1}{3} R_1(n'110; n110) \right] + \\ & \left. + \frac{1}{3} \sum_{n'} \frac{1}{E_n + E_{n'} - 2E_1} R(n'1; 10) R_1(n'1n1; 1010) \right\}, \end{aligned}$$

$$P_i^{(1)}(0S0M_S; 1SM'M'_S) = \frac{1}{\sqrt{3}} \delta_{M', i} \times$$

$$\begin{aligned}
& \times \left\{ \sum_n \frac{1}{E_n - E_{n_2}} R(n1; n_1 0) \left[ R_0(n110; 10n_2 1) + \frac{(-1)^S}{3} R_1(n110; n_2 110) \right] + \right. \\
& + \sum_n \frac{1}{E_n - E_{n_1}} R(n0; n_2 1) [R_0(n010; 10n_1 0) + (-1)^S R_0(n010; n_2 010)] + \\
& + \sum_n \frac{1}{E_n + E_{n_1} - E_{n_2} - E_1} R(n1; 10) \left[ \frac{1}{3} R_1(n1n_1 0; n_2 110) + (-1)^S R_0(n1n_1 0; 10n_2 1) \right] + \\
& \quad \left. + \frac{1}{3} \sum_n \frac{1}{E_n + E_{n_2} - E_{n_1} - E_1} R(n1; 10) \times \right. \\
& \quad \left. \times [R_1(n1n_2 1; n_1 010) + (-1)^S R_1(n1n_2 1; 10n_1 0)] \right\} \quad (3)
\end{aligned}$$

где

$$R(n_1 l_1; n_2 l_2) = \int_0^\infty dr r^3 R_{n_1 l_1}(r) R_{n_2 l_2}(r).$$

Для радиального интеграла  $R_l(n_1 l_1 n_2 l_2; n_4 l_4 n_3 l_3)$  выражение приведено в [1]. Суммирование в (3) проводится по всему спектру  $H_0$ . Расчет выражений, входящих в (3), проводился на ЭВМ. В табл. 1 приведены результаты расчета, причем  $\tau = \frac{P^{(1)}}{P^{(0)}}$ . Значения для  $P^{(0)}$  легко вычисляются и для экономии места мы их не приводим. Как видно из приведенной таблицы, для переходов  $1s^2 - 1sn p$ , значения  $\tau_n$  меньше единицы и при больших  $n$ , как можно показать  $\tau_n \simeq \text{const}$ . Для

конфигураций  $1s2s - 1s2p$  и  $1s3s - 1s3p$   $\tau \sim 1$ . Особенно велико  $\tau$  для конфигураций  $1s2p - 1s3s$ . Для этих переходов для получения хороших значений для дипольного матричного элемента необходимо рассчитывать следующие члены ряда теории возмущений:  $P^{(2)}$ ,  $P^{(3)}$ .

Таблица 1

Численные значения  $\tau = \frac{P^{(1)}}{P^{(0)}}$  для дипольного матричного элемента

$$P = \frac{1}{Z} P^{(0)} \left( 1 + \frac{\tau}{Z} \right)$$

Конфигурация	Терм	$\tau$	Конфигурация	Терм	$\tau$	Конфигурация	Терм	$\tau$
$1s^2 - 1s2p$		-0.156	$1s2s - 1s2p$		1.070	$1s2s - 1s2p$		0.813
$1s^2 - 1s3p$		0.365	$1s2s - 1s3p$		0.234	$1s2s - 1s3p$		-0.165
$1s^2 - 1s4p$		0.508	$1s2p - 1s3s$		2.530	$1s2p - 1s3s$		2.430
$1s^2 - 1s5p$		0.568	$1s3s - 1s3p$		1.017	$1s3s - 1s3p$		0.880

Для расчета сил осцилляторов воспользуемся известной формулой [3] (использованы атомные единицы, как и выше)

$$f_{LS}^{L'S'} = \frac{2}{(2L+1)(2S+1)} (E_{L'S'} - E_{LS}) \sum_{MM' M'' M'''} P_i^2(LSMM_S; L'S'M'M_{S'}'). \quad (4)$$

Чтобы представить  $f_{LS}^{L'S'}$  в виде ряда по  $Z^{-1}$  необходимо также разность энергий представить в виде ряда по  $Z^{-1}$ . Следует заметить, что при переходах между различными конфигурациями (например,  $1s^2 - 1sn p$ ) первый член разложения для  $E_{L'S'} - E_{LS}$  начинается с  $Z^2$ , так как в этом случае различны нулевые энергии состояний для переходов типа  $1sns - 1sn p$  нулевые энергии одинаковы и первый член разложен для разности энергий начинается с  $Z$ . Таким образом, при представлении сил осцилляторов в виде ряда по  $Z^{-1}$  (при нашей точности расчета  $P$ ) в первом случае достаточно для разности энергий взять нулевой и первый член ряда по  $Z^{-1}$ .

во втором случае нужен и второй член ряда по  $Z^{-1}$ , расчет которого довольно сложен [2]. В связи с разной зависимостью от  $Z$  нулевых членов для  $f_{LS}^{L'S'}$  мы привели две таблицы для сил осцилляторов. В табл. 2, а приведены численные значения для  $\alpha$ ,  $\beta$  для  $f_{LS}^{L'S'} = \alpha \left(1 + \frac{\beta}{Z}\right)$  для переходов между разными оболочками, в табл. 2, б — значения  $\alpha$ ,  $\beta$  для  $f_{LS}^{L'S'} = \frac{\alpha}{Z} \left(1 + \frac{\beta}{Z}\right)$  для переходов в оболочке.

Таблица 2

## Силы осцилляторов для переходов (ат. ед.)

а  $1s^2 - 1sn p$ ,  $1sn_1 s - 1sn_2 p$  ( $n_1 \neq n_2$ ),

$$f_{LS}^{L'S'} = \alpha \left(1 + \frac{\beta}{Z}\right),$$

б  $1sns - 1sn p$ ,

$$f_{LS}^{L'S'} = \frac{\alpha}{Z} \left(1 + \frac{\beta}{Z}\right)$$

Конфигурация	Термы	$\alpha$	$\beta$
$1s^2 - 1s2p$	$1S - 1P$	0.8324	-1.285
$1s^2 - 1s3p$	$1S - 1P$	0.1582	-0.421
$1s^2 - 1s4p$	$1S - 1P$	0.0580	-0.207
$1s^2 - 1s5p$	$1S - 1P$	0.0348	-0.082
$1s2s - 1s3p$	{ $1S - 1P$ $3S - 3P$	0.4348 0.4348	-1.238 -1.534
$1s2p - 1s3s$	{ $1S - 1P$ $3S - 3P$	0.0136 0.0136	2.834 2.958

Конфигурация	Термы	$\alpha$	$\beta$
$1s2s - 1s2p$	{ $1S - 1P$ $3S - 3P$	0.5048 0.6804	0.624 0.976
$1s3s - 1s3p$	{ $1S - 1P$ $3S - 3P$	0.8751 14.1421	0.213 0.534

Используя табл. 2, можно рассчитать силы осцилляторов для рассматриваемых переходов с точностью до второго порядка теории возмущений для гелиоподобных систем. В табл. 3 приводится сравнение настоящих расчетов с результатами из [4].

Таблица 3

## Сравнение результатов настоящего расчета сил осцилляторов с результатами из [4] (числа в скобках)

Конфигурация	Термы	He	Li <sup>+</sup>	Be <sup>++</sup>	C <sup>+++</sup>
$1s2s - 1s2p$	$1S - 1P$	{ 0.331 (0.3764)	0.203 (0.213)	0.146 (0.149)	0.093 (0.0931)
	$3S - 3P$	{ 0.506 (0.5391)	0.301 (0.308)	0.212 (0.213)	0.132 (0.132)
$1s3s - 1s3p$	$1S - 1P$	{ 0.484 (0.629)	0.312 (0.362)	0.230	0.151
	$3S - 3P$	{ 0.723	0.448	0.324	0.207
$1s2s - 1s3p$	$1S - 1P$	{ 0.166 (0.1514)	0.255 (0.256)	0.300 (0.305)	0.345 (0.351)
	$3S - 3P$	{ 0.101 (0.06446)	0.213 (0.186)	0.268 (0.252)	0.324 (0.316)
$1s2p - 1s3s$	$1P - 1S$	{ 0.0329 (0.0480)	0.0265 (0.0314)	0.0232	0.0200
	$3P - 3S$	{ 0.0337 (0.0693)	0.0270 (0.0390)	0.0237	0.0203
$1S^2 - 1s2p$	$1S - 1P$	{ 0.298 (0.2762)	0.476 (0.457)	0.565 (0.552)	0.654 (0.647)
$1s - 1s3p$	$1S - 1P$	{ 0.125 (0.0734)	0.136 (0.111)	0.142 (0.127)	0.147 (0.141)

Следует заметить, что результаты, приведенные в [4], получены разными способами и соответственно точность их различна. Так, для  $Z=2$  результаты взяты из работы [5], где при расчете были использованы хилераосовские функции с большим числом членов ( $\sim 100$ ). Для  $Z > 2$  была использована кулоновская аппроксимация. В настоящем расчете точность будет повышаться с увеличением  $Z$ , так как будет уменьшаться роль неучтенных членов ряда теории.

### Литература

- [1] У. И. Сафонова, В. В. Толмачев. Лит. физ. сб., 7, 53, 1967.
- [2] А. Н. Иванова, У. И. Сафонова, В. Н. Харитонова. Опт. и спектр., 24, 660, 1968.
- [3] Г. Бете, Э. Солпитер. Квантовая механика атомов с одним и двумя электронами. Физматгиз, М., 1960.
- [4] W. L. Wiese. Atomic transition probabilities, NSRDS NBS-4, v. 1, 1966.
- [5] B. Schiff, C. L. Pekeris. Phys. Rev., 134, A638, 1967.

Поступило в Редакцию 3 января 1968 г.

УДК 535.42 + 621.375.9 : 535

## ВЛИЯНИЕ ДИФРАКЦИИ НА КРАЯХ ФОКУСИРУЮЩЕЙ ЛИНЗЫ НА УГЛОВОЕ РАСПРЕДЕЛЕНИЕ ИНТЕНСИВНОСТИ ЛАЗЕРНОГО ИЗЛУЧЕНИЯ

В. В. Малаев

Если фокусирующая линза имеет большие размеры, то поле на краях линзы близко к нулю и дифракцией на линзе можно пренебречь. Однако иногда оказывается выгоднее использовать линзы малых размеров [1]. Если же линза не очень велика, то из-за дифракции на ее краях произойдет перераспределение энергии в пространстве, которое приведет к расплыванию пучка, в частности к увеличению ширины диаграммы направленности.

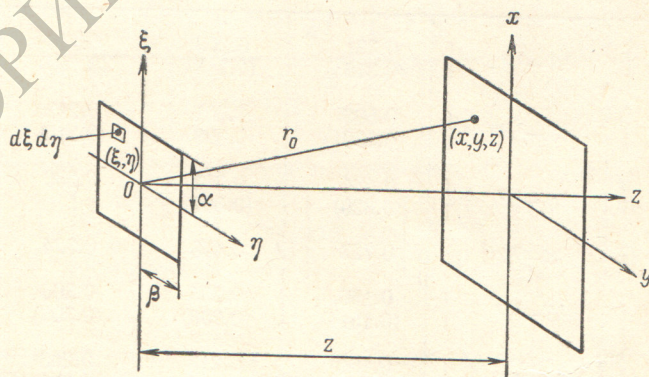


Рис. 1.

Пусть на выходе линзы с линейной апертурой  $2\alpha \times 2\beta$  создан плоский фронт (рис. 1). Тогда в точке  $(x, y, z)$ , находящейся на большом расстоянии  $z$  от линзы, напряженность поля  $mn$ -моды будет иметь вид (дифракция Фраунгофера)

$$E_{mn}(x, y, z) = \frac{ie^{-ikr_0}}{\lambda r_0} \int_0^a E_{mn}(\xi, \eta) e^{ik \frac{x\xi+y\eta}{r_0}} d\xi d\eta, \quad (1)$$

где интегрирование производится по апертуре линзы  $a$ .